

ИНСТИТУТ ЯДЕРНОЙ ФИЗИКИ
СО АН СССР

В.Н.Бочаров, С.Г.Константинов, А.М.Кудрявцев,
О.К.Мыскин, В.М.Панасюк, Ф.А.Цельник

ЗОНДИРОВАНИЕ ПЛАЗМЫ
ВЫСОКОЭНЕРГИЧНЫМИ ПУЧКАМИ АТОМОВ
С ИСПОЛЬЗОВАНИЕМ ПОРОГОВЫХ
ДЕТЕКТОРОВ

ПРЕПРИНТ 82-144



Новосибирск

ЗОНДИРОВАНИЕ ПЛАЗМЫ ВЫСОКОЭНЕРГИЧНЫМИ ПУЧКАМИ
АТОМОВ С ИСПОЛЬЗОВАНИЕМ ПОРОГОВЫХ ДЕТЕКТОРОВ

В.Н.Бочаров, С.Г.Константинов, А.М.Кудрявцев,
О.К.Мыскин, В.М.Панасюк, Ф.А.Цельник

А Н Н О Т А Ц И Я

Описан способ существенного увеличения (до 10^4) отношения сигнал/шум при активной корпскулярной диагностике плазмы за счет использования высокоэнергичного (до 80 кэВ) пучка атомов гелия и системы полупроводниковых кремниевых детекторов с низким порогом регистрации ~ 15 кэВ. Измерены коэффициенты усиления детекторов в диапазоне 10–70 кэВ, приведены результаты измерений радиального профиля плотности и потенциала вращающейся плазмы.

Зондирование корпускулярными пучками является одним из наиболее информативных методов диагностики плазмы. Различные способы такого зондирования, основанные на использовании многообразных процессов взаимодействия пучков с плазмой, описаны в большом количестве работ (см., например, обзор /1/). Однако практическое применение этих способов часто бывает осложнено из-за трудности выделения сигнала из шумов, создаваемых потоками плазменных частиц и фотонов. Мы хотим обратить внимание на возможность существенного улучшения отношения сигнал/шум в тех измерениях, когда информация о параметрах плазмы извлекается из анализа провзаимодействовавшего с ней пучка. В таких случаях можно сильно подавить как прямые, так и "просачивающиеся" в результате многократных отражений через входные устройства анализаторов шумовые потоки, если использовать в качестве регистрирующих устройств пороговые по энергии детекторы. Естественно, что величина порога и энергия зондирующего пучка должны заметно превышать характерные энергии частиц плазмы. Такие детекторы и высокоэнергичный (50+80 кэВ) атомарный пучок применяются на установке с вращающейся плазмой СВИП /2/ для измерения пространственных распределений плотности и потенциала глазмы. В условиях этих экспериментов (см. ниже) оказалось возможным измерять полезный сигнал на уровне 10^{-8} А при шумовом токе на поверхность детектора порядка 10^{-4} А.

В качестве детекторов используются твердотельные (кремниевые) пропорциональные счетчики, изготовленные в ИЯФ СО АН /3/. Золотое покрытие толщиной ~ 300 Å, а также наличие у счетчиков "мертвого слоя" обеспечивают порог регистрации по протонам и ионам $He^+ \approx 15$ кэВ. Потоки частиц с энергией выше пороговой регистрируются таким счетчиком со значительным усилением (рис. I), что естественно, так как на образование пары в нем требуется всего 3,5 эВ. Счетчики не чувствительны к магнитному полю, имеют малые размеры ($2 \times 1 \times 0,1$ см³) и в токовом режиме включаются по простой электрической схеме. Величина выходного тока в линейном режиме усиления может достигать нескольких миллиампер при длительности токового импульса 1 мс. Внедрение в тело счетчика протонов и ионов He^+ с общим зарядом 10^{-6} К не приводило к изменению его свойств.

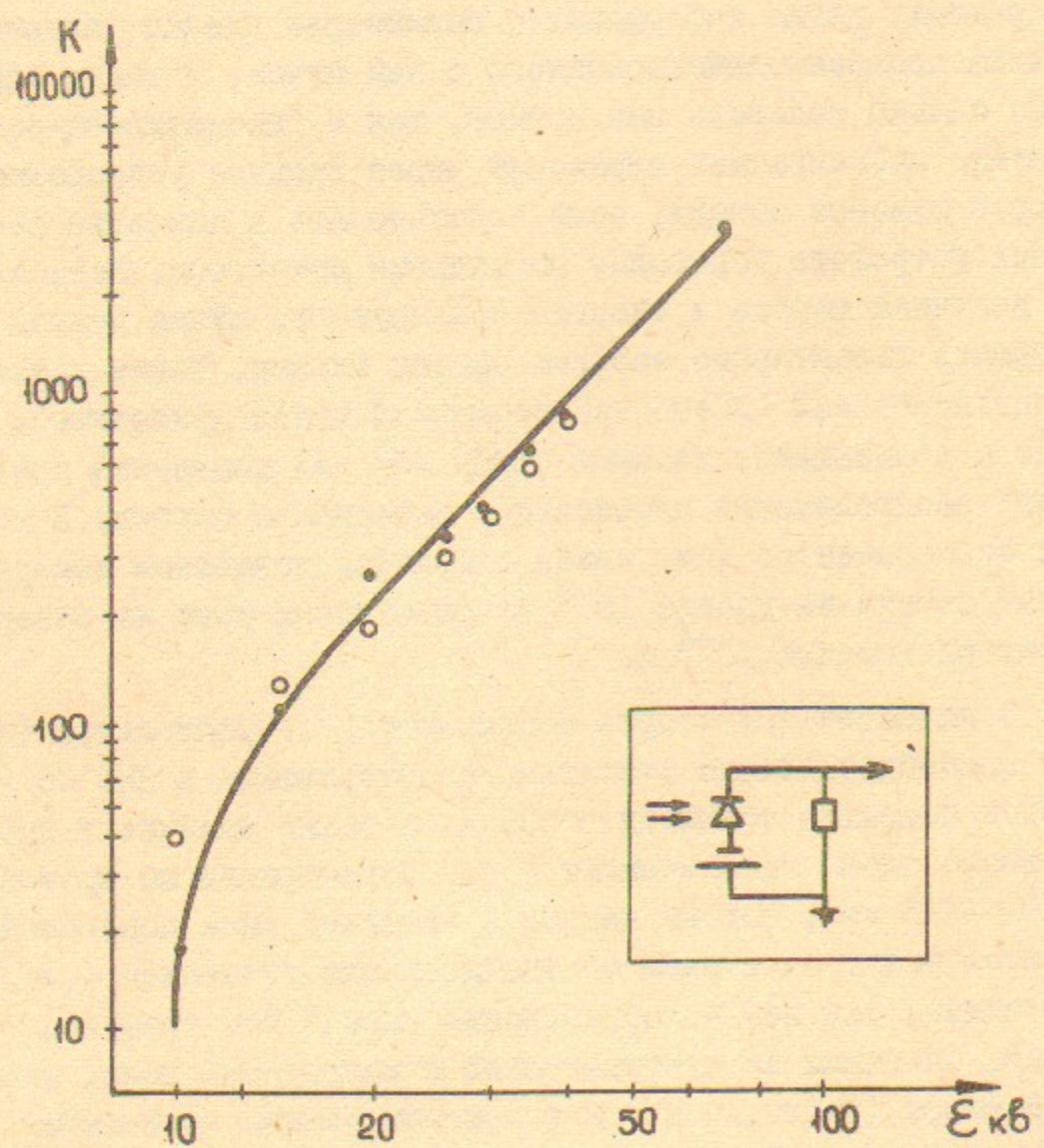


Рис.1. Зависимость коэффициента усиления счетчика от энергии ионов • - ионы He^+ ; ○ - ионы H^+

В качестве пороговых детекторов мы также применяли и выпускаемые промышленностью кремниевые фотопреобразователи – т.н. солнечные фотоэлементы /4/. Они обладают сходными со счетчиками свойствами, но имеют меньшие коэффициенты усиления.

Для проведения корректных измерений параметров плазмы необходимо иметь стабильный по току и энергии частиц, обладающий малой угловой расходностью зондирующий атомарный пучок. Поэтому созданию и отработке инжектора пучка, способного работать на различных газах и допускающего перестройку по энергии от 20 до 100 кэВ, было уделено особое внимание (рис.2). Источником плазмы, из которой затем вытягиваются ионы, является дуговой разряд с холодным катодом с системой контрагирующих диафрагм и магнетронным поджигом. Электрод-экстрактор имеет фиксированный потенциал – 35 кВ относительно плазменной границы. Экстрагируемые ионы формируются электростатической линзой в почти параллельный пучок и доускоряются регулируемой разностью потенциалов (20+100 кВ). Такая схема позволяет менять энергию пучка в широких пределах при неизменных условиях в области экстракции, что существенно повышает устойчивость работы инжектора. После доускорения ионный пучок перезаряжается в атомарный на импульсной газовой мишени и проходит коллимирующие диафрагмы. Инжектор может работать на различных газах – в ряде экспериментов использовались дейтерий, азот, аргон /5/. В данной работе использовался гелий. Ток пучка атомов He на расстоянии 1,5 м составляет 0,25 экв.мА при сечении $0,4 \times 3\text{cm}^2$ и слабо зависит от энергии в диапазоне 30+70 кВ. Инжектор не требует повседневной тренировки и обеспечивает стабильный (не хуже 1%) поток атомов от импульса к импульсу. Длительность импульса до 10 мс. Предусмотрено применение пуга импульсов длительностью 300 мкс каждый.

Особенностью экспериментов на установке с врачающейся плазмой СВИПП является то, что удерживаемая в пробочной ловушке плазма находится внутри плотной защитной плазменной оболочки ($r = 13$ см, $\Delta r = 1$ см), которая создается с помощью кольцевых плазменных источников /6/. Плотность плазмы в оболочке ($n \sim 10^{14} \text{ cm}^{-3}$) в ряде случаев существенно больше, чем плотность удерживаемой плазмы в основном объеме ($10^{12} + 5 \cdot 10^{13} \text{ cm}^{-3}$). В таких условиях практически исключено многохордовое зондирование и возможны лишь локальные измерения плотности. Как и в работах /7,8/ в на-

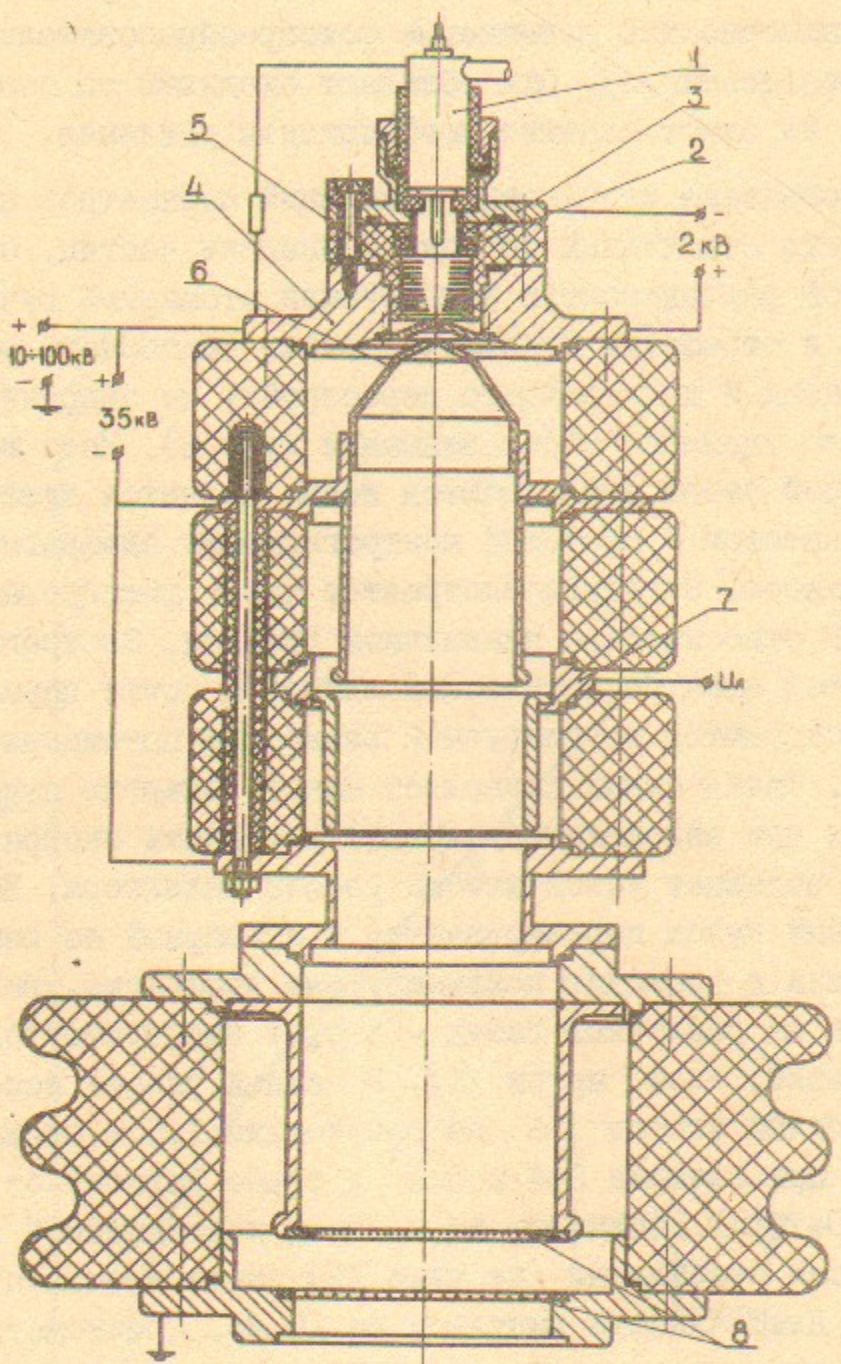


Рис.2. Инжектор диагностирующего пучка

1 - газовый клапан (конструктивно является анодом ячейки магнетронного поджига); 2 - намагниченные кольца из SmCo₅; 3 - катод; 4 - анод; 5 - контрагирующие диафрагмы; 6 - экстрактор; 7 - центральный электрод линзы; 8 - сетки.

ших измерениях регистрировались те частицы зондирующего пучка, которые в результате взаимодействия с плазмой меняют свое зарядовое состояние, а, следовательно, и траекторию в магнитном поле ловушки (поле аксиально-симметричное). Схема измерений представлена на рис.3. Пучок атомов гелия инжектируется по радиусу в экваториальной плоскости ловушки сверху; пучок ориентирован большим размером параллельно оси установки. Ионы He⁺, образовавшиеся, в основном, в результате перезарядки атомов He на ионах плазмы (H⁺), заворачиваются магнитным полем установки, проходят после выхода из плазмы через систему коллиматоров и регистрируются пороговыми полупроводниковыми детекторами. В нижней полу-плоскости экваториального сечения выбрано пять зон наблюдения с координатами r_K , равными 5, 7, 9, 11 и 13 см и характерными размерами $\Delta r \approx \pm 0,4$ см (азимутальные размеры зон задаются меньшим размером ленточного пучка). Каждой зоне соответствует своя система коллиматор-детектор. Геометрия каждого коллиматора такова, что он пропускает на детектор ионы, образовавшиеся только в соответствующей зоне $r_K \pm \Delta r$ и только при условии, что на выходе из плазмы эти ионы имеют определенную энергию E_0 . В стандартных режимах работы $E_0 = 50$ кэВ при величине магнитного поля $B = 6$ кГс.

Для плазмы установки СВИПП характерно наличие в ней большого отрицательного потенциала Φ (до 20 кВ на оси). Поэтому, из-за торможения ионов He⁺ электрическим полем плазмы, для измерения плотности в зоне r_K необходимо подстроить энергию E_A атомов пучка так, чтобы выполнялось условие $E_A + e\Phi(r_K) = E_0$. Таким образом, автоматически, вместе с измерением значений плотности $n(r_K)$, пропорциональных току соответствующего детектора, измеряются значения $\Phi(r_K)$.

Возможность пользоваться неподвижной системой коллиматор-детектор даже при величинах потенциала, соизмеримых с E_0 , достигалась за счет нескольких факторов. Атомарный пучок узкий, инжектируется по радиусу, и зоны наблюдения выбираются по возможности ближе к точкам выхода ионов He⁺ из плазмы. Тогда влияние потенциала сводится к тому, что траектория иона $\theta(r)$ вне плазмы поворачивается как целое на малый угол $\Delta\theta$ ($\Delta\theta \ll 1$ при $\Phi(r) = 0$). Детектор и примыкающая к нему выходная часть коллиматора размещались в области, где $d\theta/dr \rightarrow \infty$. Нетрудно

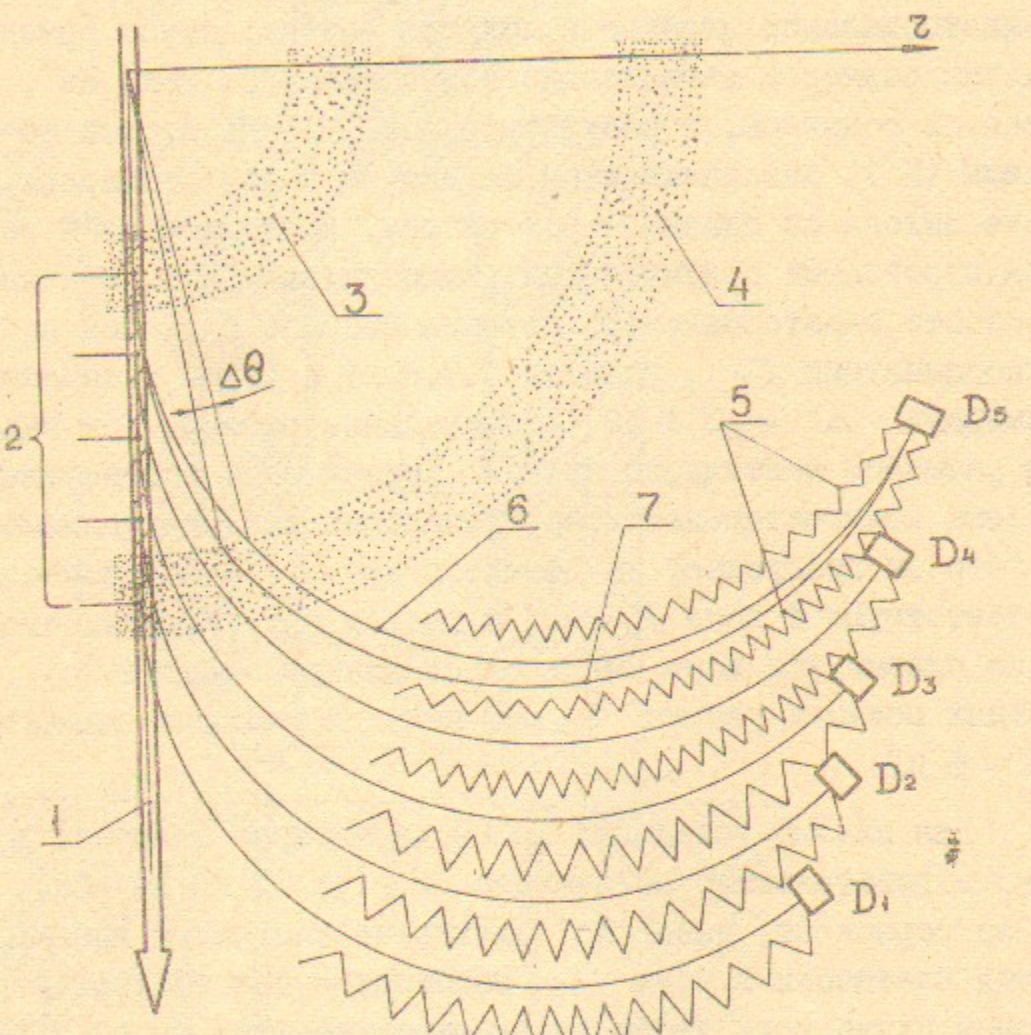


Рис.3. Схема измерений

1 - пучок атомов He; 2 - зоны наблюдения;
3 - внутренняя струя; 4 - защитная плазменная оболочка; 5 - коллиматоры; 6 - траектория иона He^+ при $\varphi = 0$; 7 - траектория при $\varphi = -35$ кВ;
 D_1+D_5 - пороговые детекторы.

видеть, что в этой области размер и форма коллиматора слабо чувствительны к вышеупомянутым поворотам траекторий. Ширина выходной части коллиматора, фактически, определяется только выбранным размером зоны наблюдения $\Delta \Gamma$. В итоге оказывается возможным сделать коллиматор, в который вписываются все траектории иона, соответствующие любым значениям φ от 0 до -20 кВ и любым разумным профилям $\varphi(r)$, сохранив достаточно высокое энергетическое разрешение $\Delta \varepsilon / \varepsilon = 6\%$.

Это позволяет пользоваться результатами абсолютной калибровки детекторов, проводящейся на газе при $\varphi(r) = 0$. Калибровка проводится непосредственно на установке в той же геометрии и при том же значении B и ε_0 , что и измерения, по обтирке атомов He на молекулярном водороде ($\sigma \approx 6 \cdot 10^{-17} \text{ см}^2$), известное количество которого напускается в объем.

В результате значение плотности плазмы $n(\Gamma_k)$ определяется по току соответствующего детектора и сечениям процессов образования ионов He^+ в окрестности Γ_k . В используемом диапазоне энергий диагностирующего пучка $\varepsilon_A = 50-70$ кэВ сечение перезарядки He на H^+ составляет $\sigma_{01} \approx (1,5-2) \cdot 10^{-16} \text{ см}^2$ и не зависит от температуры ионов плазмы, так как скорость атомов гелия $v_A \gg v_T$. Сравнимый вклад в образование ионов He^+ может дать и ионизация электронами: при температуре $T_e \sim 100$ эВ, когда скорость ионизации максимальна, $\langle \sigma v_e \rangle / v_A \approx 2 \cdot 10^{-16} \text{ см}^2$. Таким образом, если T_e неизвестна, абсолютные измерения $n(\Gamma_k)$ проводятся с точностью до 2. При зондировании высокотемпературной плазмы необходима также оценка концентрации многозарядных ионов примесей, т.к. при больших Z ($Z \geq 4$) сечение перезарядки на этих ионах на порядок превышает сечение перезарядки на протонах $/1/$.

На рис.4 в качестве иллюстрации показан результат измерения плотности в режиме малого потенциала плазмы (-6 кВ) на оси. Отчетливо виден немонотонный характер профиля плотности. По оценкам температура T_e в этом режиме не превышает 30 эВ, так что наличие многозарядных ($Z \geq 4$) ионов примесей маловероятно. Кроме того, доминирующая по результатам спектроскопических измерений примесь - ионы углерода C^+ , C^{2+} - имеет аномально малое сечение перезарядки на гелии $/9/$. Таким образом, основным процессом образования ионов He^+ в этом режиме является перезарядка на прото-

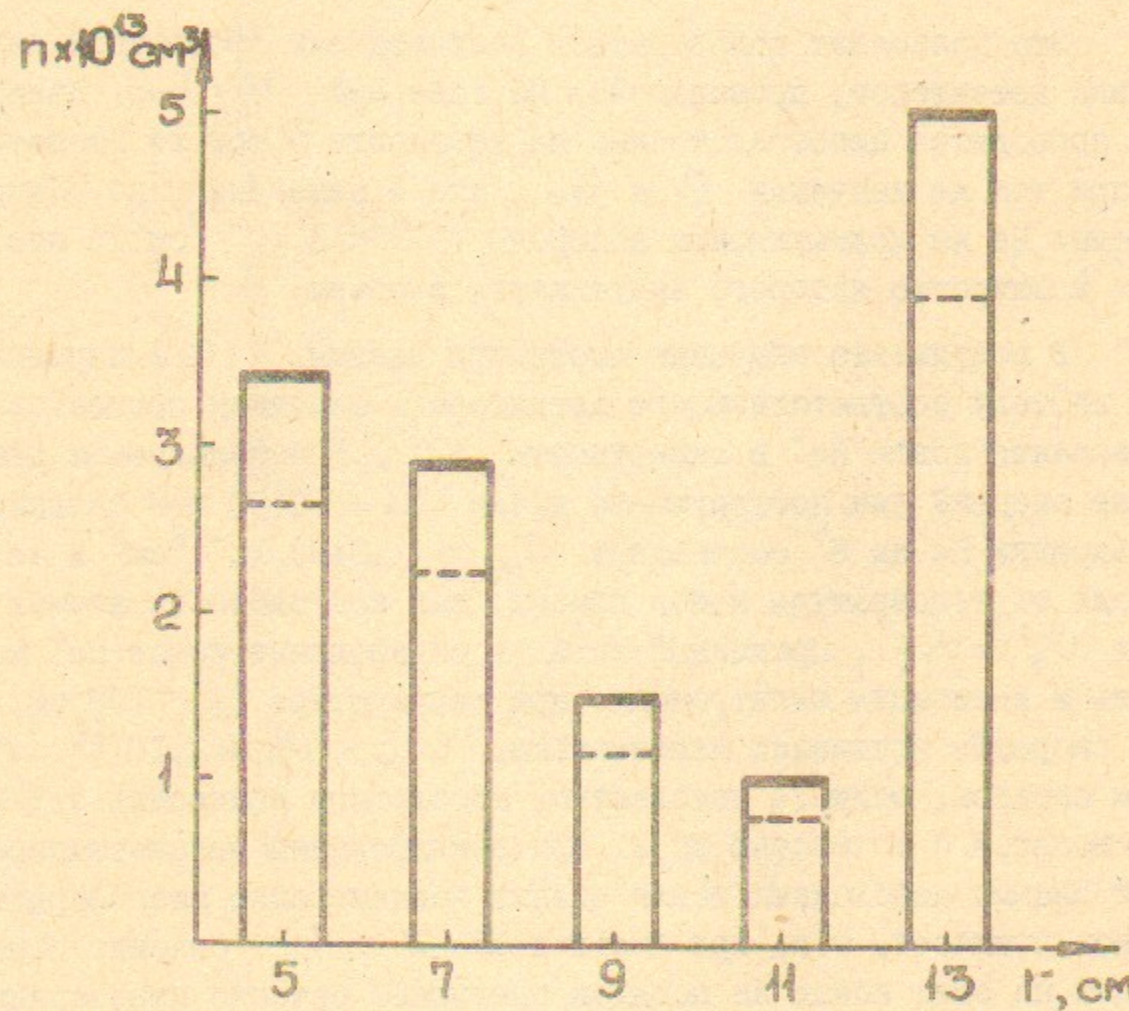


Рис.4. Радиальное распределение плотности плазмы
(штриховые линии соответствуют учету возможной ионизации электронами)

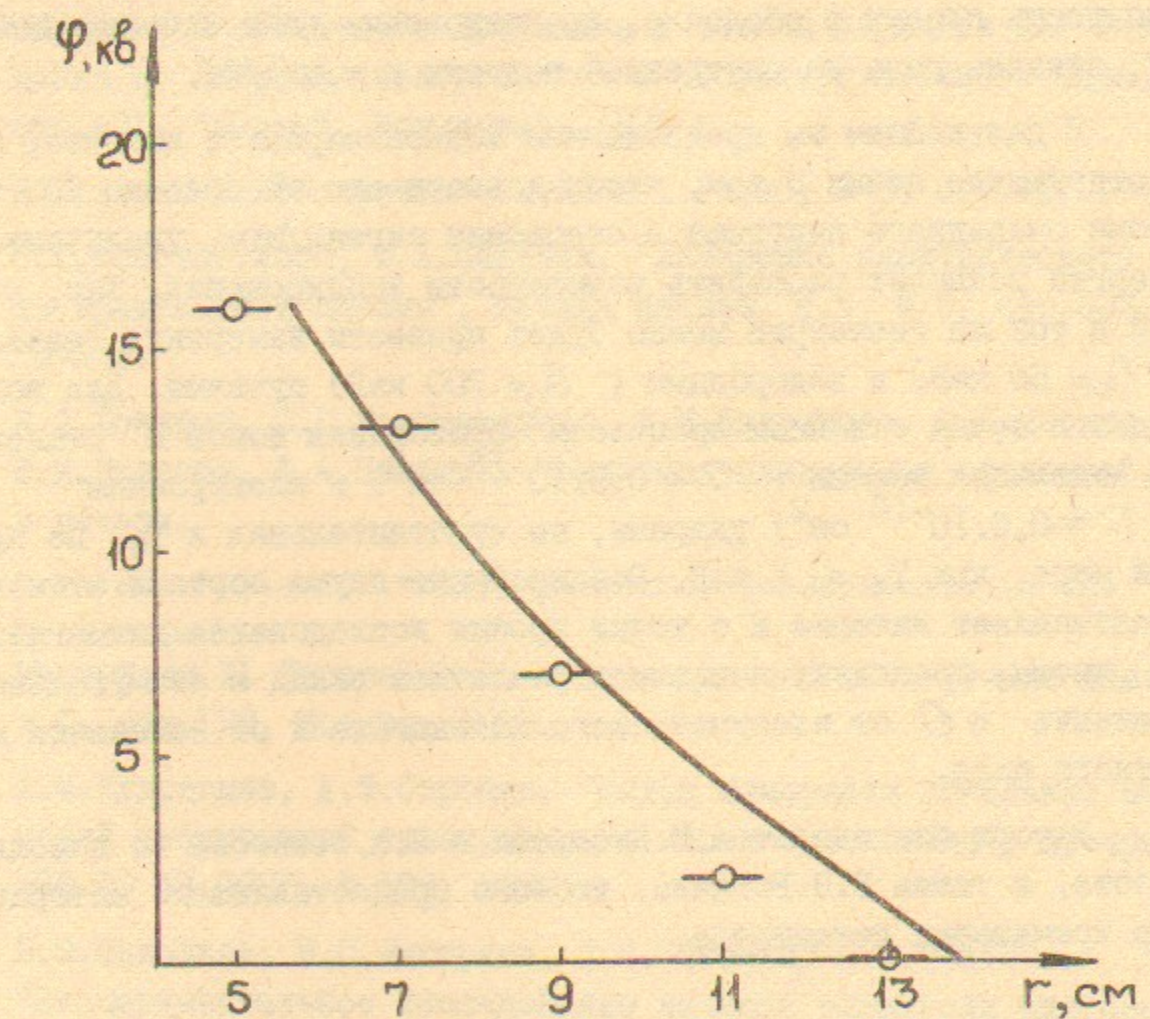


Рис.5. Радиальное распределение потенциала
в плазме малой плотности
○ – измеренные значения; линия – расчетное
вакуумное распределение

нах, и с учетом только этого процесса получен приведенный результат. Неопределенность в абсолютном значении плотности, связанная с невозможностью корректно учесть вклад от ионизации атомов He электронами, при этом не более 30%. На рис.5 показано распределение потенциала $\varphi(r)$, измеренное при исследовании свойств внутренней струи, играющей в установке СВИПП роль центрального электрода (защитная плазменная оболочка отсутствует). Отличие профиля потенциала от вакуумного объясняется наличием фоновой плазмы в полости между внутренней струей и металлическим лайнером. Эта методика использовалась нами также и для исследования свойств защитной плазменной оболочки: определялась плотность плазмы в оболочке, проникновение газа сквозь оболочку, откачка газа из внутренней полости и т.д. /6/.

В дальнейшем мы предполагаем модернизировать инжектор диагностирующего пучка с тем, чтобы довести его энергию до 200 кэВ. Кроме очевидного выигрыша в отношении сигнал/шум, увеличение энергии позволит расширить возможности зондирования. Так, в одной и той же геометрии можно будет провести измерения гелиевым ($E_0 = 50$ кэВ) и водородным ($E_0 = 200$ кэВ) пучками. Для водородного пучка основным процессом образования ионов H^+ становится ионизация ионным ($\sigma \approx 0.8 \cdot 10^{-16} \text{ см}^2$) и электронным ($\sigma \approx 0.6 \cdot 10^{-16} \text{ см}^2$) ударами, не чувствительная к T_e , по крайней мере, при $T_e \leq 1$ кэВ. Зондирование двумя сортами атомов представляет интерес и с точки зрения исследования диамагнетизма плазмы, поскольку позволяет различить вклад в азимутальное смещение $\Delta\theta$ от электрического потенциала и от изменения магнитного поля.

Авторы благодарят А.В.Киселева и В.Е.Фетисова за помощь в работе, а также В.Н.Ротаева, любезно предоставившего авторам набор кремниевых детекторов.

Л и т е р а т у р а

1. А.И.Кисляков, Л.И.Крупник. "Активная корпускулярная диагностика горячей плазмы". Физика плазмы, т.7, вып.4, стр.866, 1981 г.
2. В.Н.Бочаров, С.Г.Константинов, А.М.Кудрявцев, О.К.Мыскин, В.М.Панасюк, Ф.А.Цельник. "СВИПП - установка для исследования устойчивости и удержания вращающейся плазмы", в печати.
3. Д.К.Весновский, В.А.Кабаник, Э.Д.Литвинова, С.Г.Попов, "Полупроводниковый спектрометр для регистрации вторичных частиц в накопителе". Программа и тезисы докладов XXV Совещания по ядерной спектроскопии и структуре атомного ядра, стр.421, "Наука", Ленинград, 1975 г.
4. Н.Пульманов. "Солнечные батареи", Радио, № 5, стр.42, 1974.
5. С.Г.Константинов, Ф.А.Цельник. "Измерение электрического поля вращающейся плазмы", Физика плазмы, т.1, № 5, стр.803, 1975 г.
6. В.Н.Бочаров, С.Г.Константинов, А.М.Кудрявцев, О.К.Мыскин, В.М.Панасюк, Ф.А.Цельник. "Задняя плазменная оболочка", в печати.
7. F.Jobes, J.Hosea, "Space potential measurements in the ST-Tokamak", Материалы VI Европейской конференции по УТС и физике плазмы, т.1, стр.199, Москва, 1973.
8. А.М.Кудрявцев, А.Ф.Сорокин. "Метод измерения локальных значений электронной температуры и плотности плазмы", препринт ИЯФ СО АН СССР, № 179, 1980 г.
9. В.С.Николаев, И.С.Дмитриев, Л.Н.Фатеева, Я.А.Теплова. "Экспериментальное исследование захвата электрона многозарядными ионами", ЖЭТФ, т.40, вып.4, стр.989, 1961 г.